

А.Л. Котельникова, В.К. Пуртов

О РОЛИ ФЛЮИДОВ ПРИ ФОРМИРОВАНИИ ВЕРТИКАЛЬНОЙ ЗОНАЛЬНОСТИ НА ВОЛКОВСКОМ АПАТИТ-БОРНИТ-ТИТАНОМАГНЕТИТОВОМ МЕСТОРОЖДЕНИИ

Для Волковского апатит-борнит-титаномагнетитового месторождения, имеющего псевдо-стратифицированное строение [6], отмечается вертикальная ритмичная зональность в распределении титана (геологоразведочные данные Пышминской РТП, 1976). Изменение содержания титана в породах коррелирует с распределением Cl и F в апатитах [5] и, следовательно, с режимом HCl^0 и HF^0 во флюиде [2]. Характерное распределение Ti, Cl, F по вертикали возникло, вероятно, в результате первичной флюидно-магматической дифференциации вещества в магматической камере [5]. В связи с этим нами были рассчитаны вероятные концентрации HCl^0 и HF^0 во флюиде по составу апатитов [5] в соответствии с методикой [2]. Данные по составу магнетитов и результаты расчетов представлены в табл. 1 и на рисунке. При расчетах принимали, вслед за Коржинским М.А. [3], следующие оценки температуры и давления образования пород: габбро - 900^0C , 2 кбар; диориты - 850^0C , 1,5 кбар; габбро-диориты - 780^0C , 1 кбар.

Результаты расчетов указывают на волновой характер изменения концентрации HCl^0 и HF^0 (см. рисунок), который, вероятно, обусловил возникновение ритмической зональности в отношении титана и других петrogenических элементов. Главную роль в переносе титана играет HCl^0 , тогда

Таблица 1

Химический состав магнетитов из пород Волковского титаномагнетитового месторождения и расчетный состав равновесного с апатитами флюида.

N	Порода, глубина	Магнетит*, вес.%		Состав флюида, моль/кг H_2O	
		TiO_2	Fe_2O_3	m_{HCl}^0	m_{HF}^0
Скв. 0377					
1	Габбро-диорит, 40 м	-	-	$6,79 \cdot 10^{-3}$ -2,17	$1,18 \cdot 10^{-2}$ -2,93
2	Габбро-диорит (такситовое габбро), 210 м	5,46	61,36	$1,41 \cdot 10^{-2}$ -1,85	$1,46 \cdot 10^{-2}$ -2,84
3	Мезократовый габбро-диорит, 400 м	3,70	62,63	$1,74 \cdot 10^{-2}$ -1,76	$1,36 \cdot 10^{-2}$ -2,87
4	Мезократовый диорит, 485 м	1,92	64,36	$1,16 \cdot 10^{-1}$ -0,94	$5,60 \cdot 10^{-3}$ -2,25
5	Габбро мезократовое, 603 м	3,86	61,84	$8,03 \cdot 10^{-2}$ -1,10	$1,37 \cdot 10^{-2}$ -2,18
6	Биотитсодержащее оливиновое габбро, 700 м	5,52	59,28	$5,48 \cdot 10^{-2}$ -1,26	$6,56 \cdot 10^{-3}$ -2,18
Скв. 2175					
7	Рудное габбро, 850 м	5,65	50,45	$1,50 \cdot 10^{-2}$ -1,82	$5,30 \cdot 10^{-3}$ -2,28
8	Биотитсодержащее рудное габбро, 957,5- 961,8 м	6,40	52,11	$9,60 \cdot 10^{-3}$ -2,02	$4,87 \cdot 10^{-3}$ -2,31
9	Среднезернистое рудное габбро, 1106,2-1120 м	4,68	53,31	$1,65 \cdot 10^{-2}$ -1,78	$7,56 \cdot 10^{-3}$ -2,12
10	Рудное габбро, 1211-1215,9 м	4,90	49,62	$1,16 \cdot 10^{-2}$ -1,93	$3,51 \cdot 10^{-3}$ -2,46

*Данные о химическом составе магнетитов любезно предоставлены В.В.Холодновым

Таблица 2

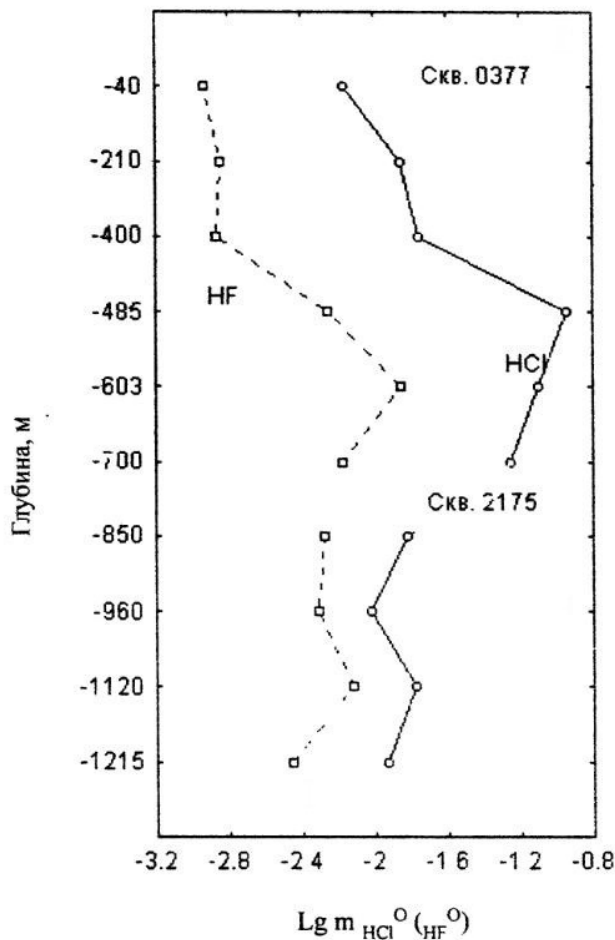
Растворимость TiO_2 в растворах HF ($m_{HF} = 0,27$ моль/кг H_2O) при $T = 600$ °C, $P = 1$ кбар в изменяющихся окислительно-восстановительных условиях

Буфер	$f(O_2)$	$lg f(O_2)$	m_{Ti}	$lg m_{Ti}$
Ni-NiO	$5,37 \times 10^{-19}$	-18,27	$3,11 \times 10^{-4}$	-3,51
Cu-CuO	$2,72 \times 10^{-9}$	-8,57	$3,912 \times 10^{-4}$	-3,41
$Mn_2O_5-MnO_2$	$9,31 \times 10^{-2}$	-1,03	$3,30 \times 10^{-4}$	-3,48

как HF^0 , накапливаясь в остаточном расплаве, во флюид переходит лишь в незначительном количестве. Такое поведение HF^0 обусловило и то, что основная масса титана, как фторофильтного элемента, сосредоточилась в расплаве.

Подтверждением возникновения ритмической вертикальной зональности в докристаллизационный период могут служить данные экспериментов, согласно которым миграционная способность титана значительно выше в системах «флюид-расплав» [1,7], чем в системе «флюид-кристалл» [4], где концентрации титана во флюиде при данном режиме HF^0 и HCl^0 меньше $5 \cdot 10^{-5}$ моль/кг H_2O .

Изменение окислительных условий также волнобразно, что видно при анализе химического состава магнетитов: содержание Fe_2O_3 в магнетите значительно повышается при увеличении концентрации HF^0 и HCl^0 (см. рисунок). Это может быть связано только с повышением летучести кислорода в системе. При этом относительно «сухие» условия сменяются более «водными» в ходе реакции $2H_2 + O_2 = 2H_2O$. Флюид, становясь более агрессивным, выносит из расплава значительные количества петрогенных элементов, в том числе и титан.



Зависимость концентрации HCl^0 и HF^0 во флюиде от глубины отбора проб по скважинам 0377 и 2175 Волковского габбрового массива

Глубина, м

Скв. 2175

Скв. 0377

$\text{Lg } m \text{ HCl}^0 (\text{HF}^0)$

В наших экспериментах, проведенных по методике [5], при изменении окислительных условий в системе «флюид-кристалл» подвижность титана не изменялась (табл.2).

Таким образом, есть основания для предположения о докристаллизационной дифференциации вещества на Волковском апатит-борнит-титаномагнетитовом месторождении за счет переноса петрогенных элементов флюидами в условиях меняющейся окислительной обстановки.

Список литературы

1. Горбачев Н.С., Каширцева Г.А. Флюидно-расплавное взаимодействие и эволюция океанических базальтов// Очерки физико-химической петрологии. М., 1985. С. 106-111.
2. Коржинский М.А. Апатитовый твердый раствор как индикатор летучести HCl^0 и HF^0 в гидротермальном флюиде// Геохимия. 1981. № 5. С. 689-707.
3. Коржинский М.А. Режим HCl^0 и HF^0 в гидротермальном флюиде при различных эндогенных процессах// Экспериментальные исследования эндогенного рудообразования. М., 1983. С. 103-113.
4. Пуртов В.К., Котельникова А.Л. О миграционных свойствах титана в хлоридных и фторидных гидротермальных растворах по экспериментальным данным// Геология рудных месторождений. 1992. № 6. С. 61-69.
5. Фоминых В.Г., Холоднов В.В. Особенности состава апатита и условия образования титаномагнетитового оруденения Волковского габбрового массива на Среднем Урале// Минералы и минеральное сырье Урала. Екатеринбург, 1992. С. 89-98.
6. Формации титаномагнетитовых руд и железистых кварцитов (железорудные месторождения Урала). Свердловск, 1984. 264 с.
7. Чевычелов В.Ю., Эпельбаум М.Б. Распределение Pb, Zn и петрогенных компонентов в системе гранитный расплав - флюид// Очерки физико-химической петрологии. М., 1995. С. 120-136.